

講演番号：2A15a15

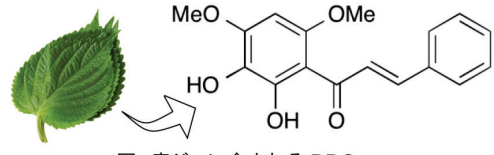
講演日時：3月 16 日 11:54～ 共通講義棟北 A15 会場

青ジソに含まれるアミロイド β 42 の凝集阻害物質の作用機構とマウスにおける生体内代謝
Mode of action of an inhibitory compound against amyloid β 42 aggregation in green perilla and its
in vivo metabolism

○坂口 嘉紀¹、村上 一馬¹、花木 瑞穂¹、泉尾 直孝²、小澤 裕介²、栗野 達也³、高部 圭司³、川瀬 泰司⁴、廣瀬 賢治⁴、三羽 伸明⁵、久米 利明⁵、清水 孝彦²、入江 一浩¹ (¹京大院農食品、²千葉大院医、³京大院農森林、⁴ウォーターズ、⁵京大院薬)

○Yoshiki SAKAGUCHI¹, Kazuma MURAKAMI¹, Mizuho HANAKI¹, Naotaka IZUO², Yusuke OZAWA², Tatsuya AWANO³, Keiji TAKABE³, Taiji KAWASE⁴, Kenji HIROSE⁴, Nobuaki SAMPA⁵, Toshiaki KUME⁵, Takahiko SHIMIZU², Kazuhiro IRIE¹ (¹Food Sci. Agri. Kyoto Univ., ²Chiba Univ., ³Forest Agri. Kyoto Univ., ⁴Waters, ⁵Pharma. Sci.. Kyoto Univ.)

【背景・目的】アルツハイマー病(AD)の原因物質である42残基のアミロイド β (A β 42)は、主として分子間 β シート構造をとることにより凝集(オリゴマー化: 2~24量体: dimer or trimer $\times n$)し、神経細胞毒性を示す。これより、A β 42の凝集を抑える食品や漢方薬に含まれる機能性成分は、AD予防に有効と考えられる。これまでに本研究グループは、凝集抑制に不可欠な構造因子として、カテコール構造ならびに平面性を明らかにした。¹⁾近年、赤池ら(京大院薬)は2',3'-dihydroxy-4',6'-dimethoxychalcone(DDC:下図)を青ジソ(*Perilla frutescens var. crispa f. viridis*)の抽出液から初めて単離・同定し、DDCの強い抗酸化作用および抗炎症作用を明らかにした。²⁾ DDCはカテコール構造をもつことから、A β 42の凝集能に対する効果についても興味がもたれた。本研究では、DDCのA β 42に対する凝集抑制能を明らかにし、その作用機構をLC-MSおよびイオンモビリティ質量分析法(IM-MS)で調べた。さらに、DDCの体内動態に関する知見を得るために、マウス体内における代謝動態について解析した。



【方法・結果・考察】2'-Hydroxy-4',6'-dimethoxyacetophenoneを出発物質としてDakin反応を行なった後、cinnamoyl chlorideを用いたFriedel-Craftsアシル化反応によってDDCを得た。A β 42の凝集抑制能は、チオフラビンT(Th-T)蛍光試験、HPLCを用いた遠沈試験、透過型電子顕微鏡によって評価した。その結果、DDCは濃度依存的にA β 42の凝集を抑えるだけでなく($IC_{50} = 11 \mu\text{M}$)、形成されるフィブリルの量が減少した。その強さは、カテコール構造を有するタキシフォリン等($IC_{50} = 15\sim30 \mu\text{M}$)に比べて強かった。¹⁾また、LC-MSとIM-MS測定から、DDCの代謝物とA β 42がシップ塩基を形成していること、衝突誘起解離(CID)によるMS/MS実験からその結合残基はK16およびK28であること、さらにDDCはA β 42の2量体以上の形成を抑制していることが判明した。

次に、DDCを野生型マウスに経口投与(100 mg/kg)し、30分後の脳、血液、小腸における吸収ならびに代謝をLC-MSで調べたところ、血液と小腸中だけでなく脳内にも、DDCの硫酸およびグルクロン酸抱合体が含まれていることが判明した。タキシフォリンを投与した場合には、脳内でこれらの抱合体および未変化体が検出された。これまでフラボノイドは、痕跡量の未変化体としての脳移行の報告多かったが、野生型マウスの場合、その多くは抱合化されている可能性がある。

1) 村上、入江, *Dementia Japan.* **2017**, 31, 351. 2) Izumi, Y. et al., *Free Radic. Biol. Med.* **2012**, 53, 669.